

центра с последующей рекомбинацией их с электронами на s-центрах безызлучательной рекомбинации. В этом случае энергия активации температурного тушения  $E_t$  будет равна энергетическому расстоянию уровня центра ФЛ от валентной зоны. Такие глубокие дырочные центры в интервале  $E_v + (0.4 - 0.48)$  эВ действительно наблюдаются в теллуриде кадмия [5, 6].

### Список литературы

- [1] Крусток Ю. И., Лью А. Э., Пийбе Т. Э. // ФТП. 1990. Т. 24. В. 10. С. 1888—1891.
- [2] Физика соединений Al<sub>1-x</sub>Ge<sub>x</sub> / Под ред. А. Н. Георгиани, М. К. Шейнкмана. М., 1986. 320 с.
- [3] Ermolovich I. B., Matvievskaja G. I., Sheinkman M. K. // J. Luminescence. 1975. V. 10. P. 58—68.
- [4] Физика и химия соединений Al<sub>1-x</sub>Ge<sub>x</sub> / Под ред. С. А. Медведева. М., 1970. 624 с.
- [5] Ризаханов М. А., Абрамов И. Я. // ФТП. 1981. Т. 24. В. 5. С. 1042—1044.
- [6] Takabe T., Sarai J., Matsunami H. // J. Appl. Phys. 1982. V. 53. N 1. P. 457—469.

Таллинский технический университет

Получено 28.01.1991  
Принято к печати 21.03.1991

ФТП, том 25, вып. 7, 1991

## ВОЗНИКНОВЕНИЕ УПРУГИХ НАПРЯЖЕНИЙ ЗА ГРАНИЦЕЙ АМОРФИЗИРОВАННОЙ ОБЛАСТИ, СОЗДАННОЙ В GaAs ИОННОЙ ИМПЛАНТАЦИЕЙ

Алещенко Ю. А., Водопьянов Л. К.

Имплантация ускоренных ионов формирует область распределения примесей и дефектов с резкой границей, определяемой размерами пучка ионов и их энергией. Увеличение этой области возможно за счет эффекта канализации. Однако существенное изменение электрофизическими параметров наблюдалось на значительно больших расстояниях от подвергнутой ионной имплантации области полупроводника. Подобные эффекты ранее были обнаружены в ионно-имплантированном алмазе [1], а также в кремнии, подвергнутом ионной имплантации, плазменному травлению или лазерному отжигу [2—5]. Выяснение причин проявлений этих эффектов существенно для такой задачи микроэлектроники, как повышение плотности размещения активных элементов планарных интегральных схем.

В настоящей работе методом спектроскопии комбинационного рассеяния (КР) света исследовалась модификация фононных спектров монокристалла GaAs на расстояниях до 0.5 мм от границы области, которую имплантировались ионы Ar<sup>+</sup> с энергией 100 кэВ и дозой  $5 \times 10^{14}$  см<sup>-2</sup>. В экспериментах использовался GaAs в виде эпитаксиальных пленок толщиной 3 мкм с проводимостью n-типа и концентрацией электронов  $10^{15}$  и  $10^{16}$  см<sup>-3</sup>, выращенных на n<sup>+</sup>-подложке, а также объемный полузолирующий материал. Часть образца во время имплантации закрывалась маской. Спектры КР при комнатной температуре возбуждались от плоскости (100) GaAs излучением Ar<sup>+</sup>-лазера с длиной волны 488 нм. Для улучшения отношения сигнал/шум измерения проводились в геометрии «на отражение» под углом Брюстера. Глубина проникновения возбуждающего излучения в образец ( $\sim 100$  нм) соответствовала толщине слоя GaAs с имплантированными ионами.

Обнаружено существенное отличие спектров по обе стороны от границы раздела исходной и подвергнутой ионной имплантации областей (рис. 1). В первой области спектры типичны для кристаллического GaAs и содержат интенсивную LO-моду, к которой в спектрах пленки добавляется слабая полоса TO-фона, запрещенного правилами отбора в строгой геометрии обратного

рассеяния от плоскости (100) и проявляющегося, вероятно, из-за отклонения от этой геометрии в рассматриваемом случае. Спектр КР за границей раздела характерен для аморфного GaAs и отражает фоновую плотность состояний.

На рис. 2 представлены зависимости положения *LO*-моды в спектрах КР и ее полуширины от расстояния до границы аморфизированной области GaAs. Измерения проводились в части образца, прикрытой при имплантации маской, с шагом 125 мкм при поперечнике сфокусированного на образце лазерного луча

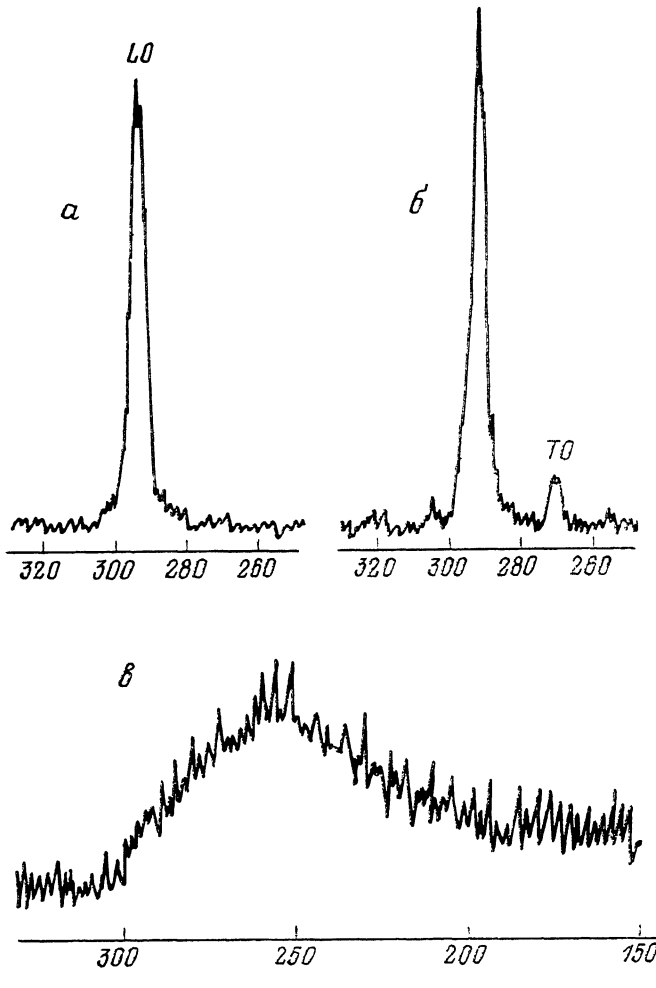


Рис. 1. Спектры КР объемного образца (а) и эпитаксиальной пленки GaAs (б) вне области, подвергнутой имплантации ионов Ar, и в ионно-имплантированной области (в).

~50 мкм. Как видно из рисунка, по мере приближения к границе со стороны исходной области имеют место монотонный «красный» сдвиг *LO*-пика и его уширение. Одновременно происходит и сопоставимое снижение частоты *TO*-моды в спектрах КР пленки GaAs. Вместе с тем нами не отмечено увеличение интенсивности *TO*-пика по отношению к интенсивности *LO*-полосы в спектрах пленки при приближении к границе аморфизированной области.

Наблюдаемые особенности не могут быть объяснены механизмами миграции дефектов. Действительно, согласно модели пространственной корреляции [6], радиационные дефекты приводят к тому, что длина корреляции для фононов становится конечной вследствие нарушения правил отбора по импульсу. В результате происходит низкочастотный сдвиг *LO*-моды, положение же *TO*-моды GaAs практически не изменяется в силу ее малой дисперсии в зоне Бриллюэна.

Однако в спектрах КР эпитаксиальной пленки нами зарегистрирован низкочастотный сдвиг и  $TO$ -моды, а также не обнаружено роста ее интенсивности по мере приближения к границе аморфизированной области, которого следовало бы ожидать при снятии запрета по симметрии на  $TO$ -моду с ростом степени дефектности кристалла.

С учетом вышеизложенного более последовательным представляется объяснение наших данных механическими напряжениями. Их источником может служить отличие структур аморфного и кристаллического GaAs. Для оценки упругих напряжений в кристалле использовались соотношения, полученные в экспериментах по воздействию на GaAs гидростатического давления и связы-

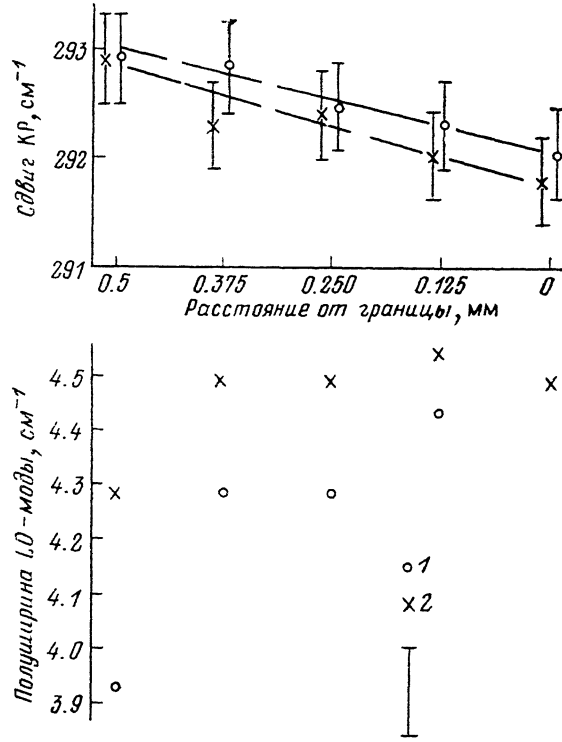


Рис. 2. Зависимости сдвига полосы  $LO$ -моды и ее полуширины от расстояния до границы аморфизированной области для пленки (1) и объемного образца GaAs (2).

Точка с координатой 0 вплотную примыкает к границе аморфизированной области.

вающие сдвиги  $LO$ - и  $TO$ -мод в спектрах с относительным изменением постоянной решетки  $\Delta a/a_0$  [7]:

$$\Delta\omega_{LO} = 1.07 \cdot 10^3 (-\Delta a/a_0) - 2.84 \cdot 10^3 (-\Delta a/a_0)^2,$$

$$\Delta\omega_{TO} = 1.12 \cdot 10^3 (-\Delta a/a_0) - 2.28 \cdot 10^3 (-\Delta a/a_0)^2,$$

$$P = (B_0/B'_0)((a_0/a)^{3B'} - 1),$$

$$-\Delta a/a_0 = 1 - a/a_0,$$

где  $B_0$  — объемный модуль упругости ( $B_0 = 72.5$  ГПа для GaAs),  $B'_0$  — его производная по давлению ( $B'_0 = 4.67$ ),  $P$  — механическое напряжение. Используя сдвиг  $LO$ -моды, показано, что в кристаллической области объемного материала и эпитаксиальной пленки GaAs имеет место деформация растяжения, которая возрастает до значений  $-0.24$  и  $-0.18$  ГПа соответственно по мере приближения к границе аморфизированной области. В рамках представлений о генерации механических напряжений при аморфизации прилегающей к подвергнутой ионной имплантации области GaAs находят объяснение зарегистрированное изменение частот колебательных мод GaAs на макроскопических расстояниях от границы раздела и уширение полосы  $LO$ -моды. В частности, последнее может быть

объяснено неоднородностью механических напряжений. По нашим данным она составляет  $\sim 4.4 \cdot 10^{-2}$  для объемного образца и  $\sim 8.3 \cdot 10^{-2}$  ГПа в случае эпитаксиальной пленки.

При использовании сдвига слабой полосы *TO*-моды, проявившейся в спектрах КР эпитаксиальной пленки GaAs, также проведена оценка механических напряжений в кристаллической области GaAs. Установлено, что они имеют тот же порядок величины, что и оцененные по сдвигу *LO*-моды. Это обстоятельство служит дополнительным подтверждением справедливости предложенной интерпретации.

Таким образом, в данной работе показано, что аморфизация GaAs при ионном внедрении сопровождается распространением растягивающих напряжений за границу аморфизированной области в кристаллический материал на расстояния  $\sim 1$  мм, и оценены величины этих напряжений.

Авторы благодарят В. С. Вавилова и Г. Н. Галкина за обсуждение, а А. В. Спицына и В. А. Дравина за имплантацию.

#### Список литературы

- [1] Вавилов В. С., Гусева М. и др. // Препринт ФИ АН СССР. М., 1969.
- [2] Зорин Г. В. и др. // Ионная имплантация в полупроводниках и других материалах. Вильнюс, 1986. С. 276—283.
- [3] Артамонов В. В., Валах М. Я., Романюк Б. Н. и др. // Письма ЖТФ. 1989. Т. 15. В. 6. С. 72—76.
- [4] Lee Y. H. et al. // J. Rad. Eff. Def. Sol. 1989. V. 111-112. P. 221.
- [5] Polyaninov A. V., Yanushkevich V. A., Ivanov L. J., Gurov K. P. // Rad. Eff. Exp. 1989. V. 2. N 5-6. P. 165.
- [6] Tiong K. K., Amirtharaj P. M., Pollak F. H., Aspnes D. E. // Appl. Phys. Lett. 1984. V. 44. N 1. P. 122—124.
- [7] Trommer R., Muller H., Cardona M. // Phys. Rev. B. 1980. V. 21. N 10. P. 4869—4878.

Физический институт им. П. Н. Лебедева  
АН СССР  
Москва

Получено 4.03.1991  
Принято к печати 21.03.1991